

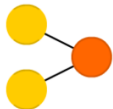
Шпаргалка по всем сетям, их классификация и строгое описание

Жариков Илья Николаевич

Московский физико-технический институт
Факультет управления и прикладной математики
Кафедра интеллектуальных систем

28 сентября 2017 г.

P
FF
RBF
DFF
RNN
LSTM
GRU
NTM
DRN
ESN
LSM
ELM
AE
VAE
DAE
SAE
GAN
MC
HN
BM
RBM
DBN
DCN
DN
DC-IGN
KN
SVM



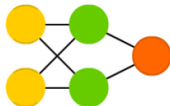
Самая простая нейронная сеть.
Входные элементы напрямую соединены
с выходными с помощью системы весов.

Описывается следующей моделью:

$$a(\mathbf{x}, \mathbf{w}) = \sigma(\langle \mathbf{w}, \mathbf{x} \rangle),$$

где $\sigma : \mathbb{R} \rightarrow \mathbb{R}$ — функция активации (в частности, sign), а
 $\mathbf{w} \in \mathbb{R}^n$ — веса признаков.

Feed Forward



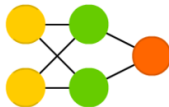
Перцептрон, в котором присутствует дополнительный скрытый слой.
Нейроны одного слоя между собой не связаны, при этом каждый нейрон связан с каждым нейроном соседнего слоя.

Базовая модель описывается следующим способом:

$$a(x) = \sigma_m (\langle w, u \rangle) \quad u = \sigma_h (Wx),$$

где $\sigma_m : \mathbb{R} \rightarrow \mathbb{R}$, $\sigma_h : \mathbb{R}^h \rightarrow \mathbb{R}^h$ — функции активации,
а $w \in \mathbb{R}^h$, $W \in \mathbb{R}^{h \times n}$ — веса признаков.

Radial Basis Function



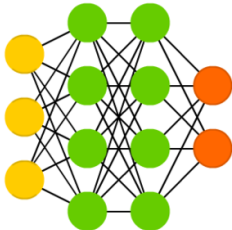
Feed Forward Neural Network, которая ис-
пользует радиальные базисные функции
как функции активации.

Соответственно модель будет такой же:

$$a(\mathbf{x}) = \sigma_m (\langle \mathbf{w}, \mathbf{u} \rangle) \quad \mathbf{u} = \sigma_h (\mathbf{Wx}),$$

однако $\sigma_h : \mathbb{R}^h \rightarrow \mathbb{R}^h$ — радиально-базисные функции.

Deep Feed Forward



Feed Forward Neural Network, которая
содержит несколько скрытых слоев.

Выходные значения сети $\mathbf{a} \in \mathbb{R}^m$ на объекте \mathbf{x} :

$$\mathbf{a}(\mathbf{x}) = \sigma_m (\langle \mathbf{w}, \mathbf{u}_2 \rangle) \quad \mathbf{u}_2 = \sigma_{h_2} (\mathbf{W}_2 \mathbf{u}_1) \quad \mathbf{u}_1 = \sigma_{h_1} (\mathbf{W}_1 \mathbf{x}),$$

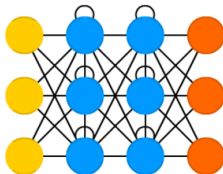
где

$$\sigma_m : \mathbb{R} \rightarrow \mathbb{R}, \quad \mathbf{w} \in \mathbb{R}^{h_2},$$

$$\sigma_{h_2} : \mathbb{R}^{h_2} \rightarrow \mathbb{R}^{h_2}, \quad \mathbf{W}_2 \in \mathbb{R}^{h_2 \times h_1},$$

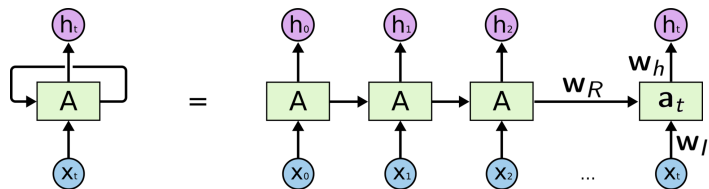
$$\sigma_{h_1} : \mathbb{R}^{h_1} \rightarrow \mathbb{R}^{h_1}, \quad \mathbf{W}_1 \in \mathbb{R}^{h_1 \times n}.$$

Recurrent Neural Network



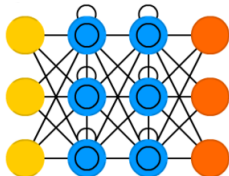
Нейроны получают информацию не только от предыдущего слоя, но и от самих себя в результате предыдущего прохода.

Развернем обратную связь одного нейрона:



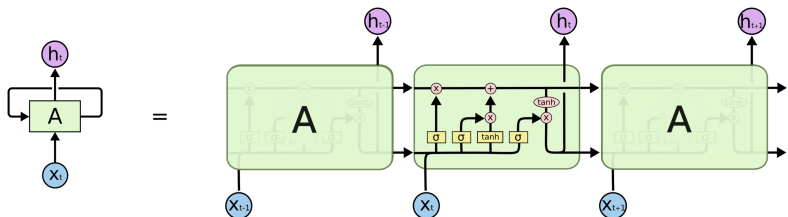
$$h_t = \sigma_h (W_h a_t) \quad a_t = \sigma_a (W_I x_t + W_R a_{t-1})$$

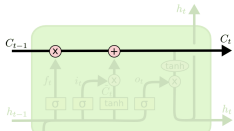
Long / Short Term Memory



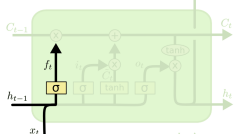
Особая разновидность архитектуры рекуррентных нейронных сетей, способная к обучению долговременным зависимостям.

Повторяющийся модуль в LSTM сети состоит из нескольких взаимодействующих слоев:



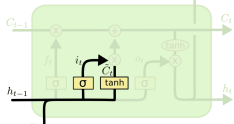


Состояние ячейки (cell state).
Проходит напрямую через всю цепочку.



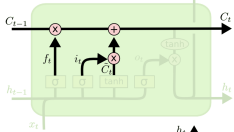
Forget gate layer:

$$\mathbf{f}_t = \sigma(\mathbf{W}_f [\mathbf{h}_{t-1}, \mathbf{x}_t]) .$$



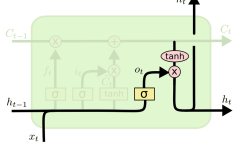
Input gate layer:

$$\tilde{\mathbf{C}}_t = \tanh(\mathbf{W}_C [\mathbf{h}_{t-1}, \mathbf{x}_t]),$$



Обновление состояния ячейки:

$$\mathbf{C}_t = \mathbf{f}_t * \mathbf{C}_{t-1} + \mathbf{i}_t * \tilde{\mathbf{C}}_t.$$

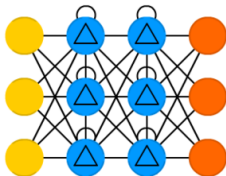


Выходные данные:

$$\mathbf{o}_t = \sigma(\mathbf{W}_o [\mathbf{h}_{t-1}, \mathbf{x}_t]),$$

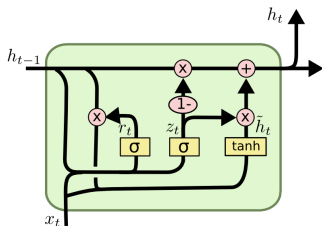
$$\mathbf{h}_t = \mathbf{o}_t * \tanh(\mathbf{C}_t).$$

Gated Recurrent Unit



Упрощенная LSTM, в которой фильтры «забывания» и «входа» объединяют в один фильтр «обновления» (update gate).

Повторяющийся модуль в архитектуре GRU сети:



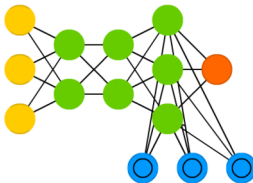
$$z_t = \sigma(W_z [h_{t-1}, x_t]),$$

$$r_t = \sigma(W_r [h_{t-1}, x_t]),$$

$$\tilde{h}_t = \tanh(W [r_t * h_{t-1}, x_t]),$$

$$h_t = (1 - z_t) * h_{t-1} + z_t * \tilde{h}_t.$$

Neural Turing Machine

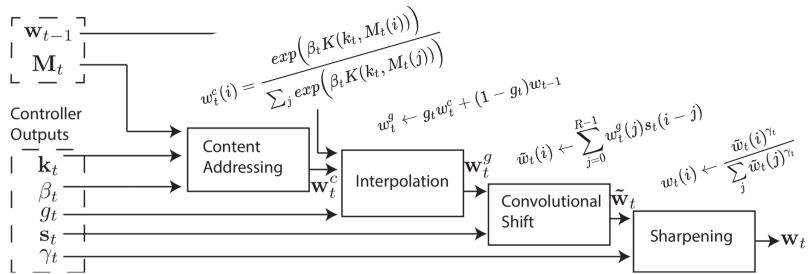


Блок памяти отделен от нейрона.
 M_t — матрица памяти в момент t .
 w_t — весовой вектор (механизм).

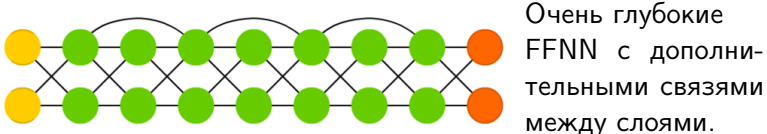
Чтение: $\mathbf{r}_t \leftarrow \mathbf{M}_t^T \mathbf{w}_t$.

Запись: $\mathbf{M}_t \leftarrow \mathbf{M}_{t-1} - \mathbf{M}_{t-1} \circ (\mathbf{w}_t^\top \mathbf{e}_t) + \mathbf{w}_t^\top \mathbf{a}_t$.

Адресация:

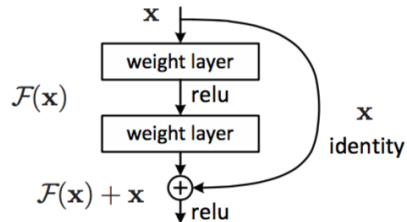


Deep Residual Network

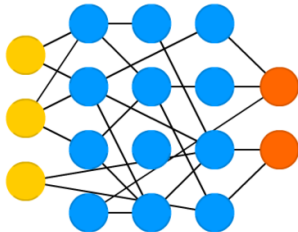


Было доказано, что сети этого типа на самом деле просто RNN без явного использования времени.

Конструкция основного блока DRN сети:



Echo State Network



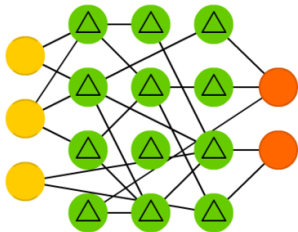
Еще один вид рекуррентных нейросетей.

Быстрее обучаются.
Более устойчивы.

Несколько ключевых отличий:

- Связи между нейронами скрытого слоя случайны;
- Настраиваемыми являются только веса выходного слоя;
- Веса скрытого слоя сети задаются один раз при инициализации сети и не изменяются в процессе ее функционирования.

Liquid State Machine



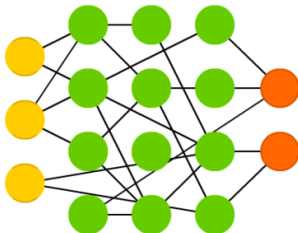
Разновидность импульсных
нейронных сетей.

Подобны ESN.

Несколько ключевых отличий от ESN:

- Вместо сигмоидных функций рассматриваются пороговые функции;
- Как только порог превышен, энергия освобождается и нейрон посыпает импульс другим нейронам.

Extreme Learning Machine

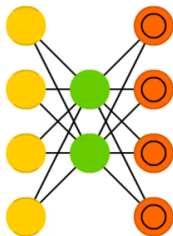


FFNN со случайными
связями между нейронами.

Обучаются методом
обратного распространения
ошибки.

Модель будет такой же, что у FFNN, только с поправкой на
случайные связи.

Auto Encoder



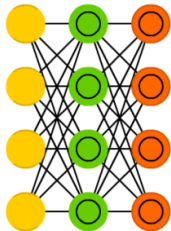
Другой способ использования FFNN.
Идея — автоматическое кодирование.

Конструируется таким образом, чтобы не иметь возможность точно скопировать вход на выходе.

Модель имеет следующий вид:

$$\mathbf{a}(\mathbf{x}) = \sigma_n (\mathbf{W}_n \mathbf{u}) \quad \mathbf{u} = \sigma_h (\mathbf{W}_h \mathbf{x}),$$

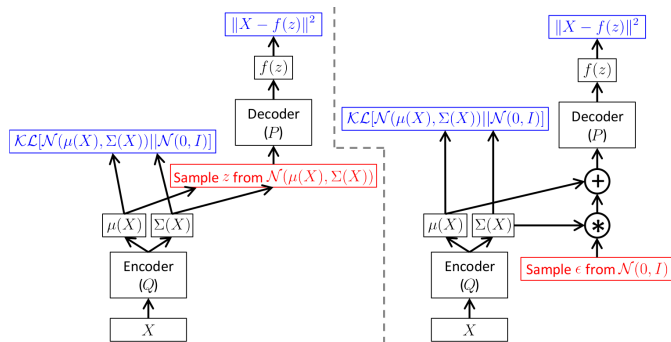
где $\sigma_n : \mathbb{R}^n \rightarrow \mathbb{R}^n$, $\sigma_h : \mathbb{R}^h \rightarrow \mathbb{R}^h$ — сигмоидные функции активации, веса $\mathbf{W}_m \in \mathbb{R}^{n \times h}$ и $\mathbf{W}_h \in \mathbb{R}^{h \times n}$ ($h < n$).



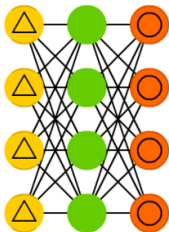
Variational Auto Encoder

Автоэнкодеры, которые учатся отображать объекты в заданное скрытое пространство и, соответственно, сэмплировать из него.

Более подробная схема:



Denoising Auto Encoder



Автоэнкодер, которому подаем на вход
данные с шумом.

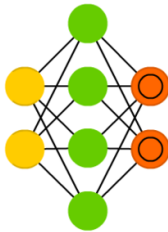
Ошибку вычисляем прежним методом,
сравнивая выходной образец с оригиналом
без шума.

Модель имеет следующий вид:

$$\mathbf{a}(\mathbf{x}) = \sigma_n (\mathbf{W}_n \mathbf{u}) \quad \mathbf{u} = \sigma_h (\mathbf{W}_h \tilde{\mathbf{x}}),$$

где $\sigma_n : \mathbb{R}^n \rightarrow \mathbb{R}^n$, $\sigma_h : \mathbb{R}^h \rightarrow \mathbb{R}^h$ — сигмоидные функции
активации, веса $\mathbf{W}_m \in \mathbb{R}^{n \times h}$ и $\mathbf{W}_h \in \mathbb{R}^{h \times n}$, а вектор
 $\tilde{\mathbf{x}} \in \mathbb{R}^n$ обозначает зашумленный вектор $\mathbf{x} \in \mathbb{R}^n$.

Sparse Auto Encoder



Антипод автоэнкодера.

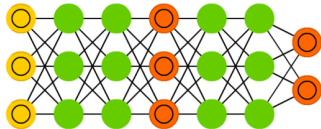
Для обучения требуется ввести штраф за количество активированных нейронов в скрытом слое.

В остальном модель ничем не отличается от модели AE:

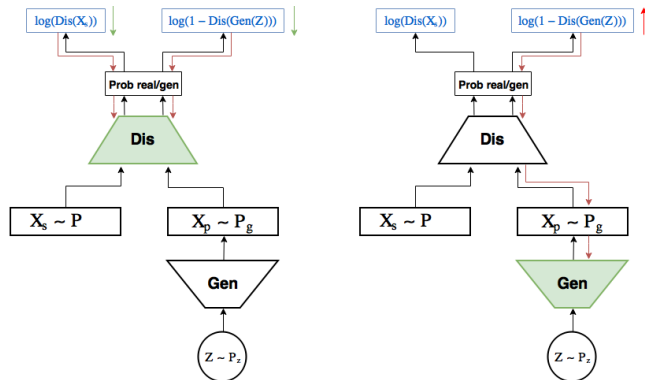
$$\mathbf{a}(\mathbf{x}) = \sigma_n (\mathbf{W}_n \mathbf{u}) \quad \mathbf{u} = \sigma_h (\mathbf{W}_h \mathbf{x}),$$

где $\sigma_n : \mathbb{R}^n \rightarrow \mathbb{R}^n$, $\sigma_h : \mathbb{R}^h \rightarrow \mathbb{R}^h$ — сигмоидные функции активации, веса $\mathbf{W}_m \in \mathbb{R}^{n \times h}$ и $\mathbf{W}_h \in \mathbb{R}^{h \times n}$.

Generative Adversarial Network

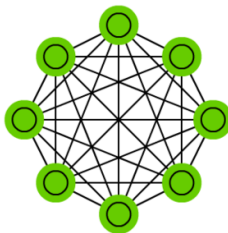


Одна из сетей генерирует данные, а вторая — анализирует.



$$\min_G \max_D V(D, G) = \mathbb{E}_{x \sim P} [\log D(x)] + \mathbb{E}_{z \sim P_z} [\log (1 - D(G(z)))] .$$

Markov Chain



Задаются вероятности перехода из текущего состояния в соседние.

Формирует теоретическую основу для HN и BM.

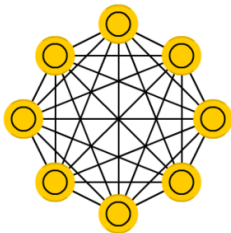
Напоминание:

Последовательность дискретных случайных величин $\{X_n\}_{n \geq 0}$ называется простой цепью Маркова, если:

$$\mathbb{P}(X_{n+1} = i_{n+1} | X_n = i_n, \dots, X_0 = i_0) = \mathbb{P}(X_{n+1} = i_{n+1} | X_n = i_n).$$

Область значений случайных величин $\{X_n\}$ называется пространством состояний цепи.

Hopfield Network



Полносвязная сеть.

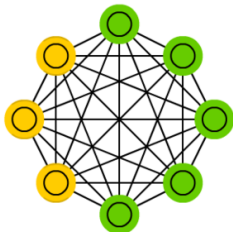
Каждый нейрон служит входным до обучения, скрытым во время него и выходным после.

Пусть $S_i(t) \in \{-1, 1\}$ состояние i -ого нейрона в момент t .
Динамика состояния всех нейронов в сети из N нейронов:

$$\mathbf{S}(t + 1) = \text{sign}(\mathbf{WS}(t)),$$

где матрица $\mathbf{W} \in \mathbb{R}^{N \times N}$ —матрица весовых коэффициентов, описывающая взаимодействия нейронов.

Boltzmann Machine



Аналог скрытых моделей Маркова.

Некоторые нейроны помечены
как входные, а некоторые остаются
скрытыми.

Нет обратных связей.

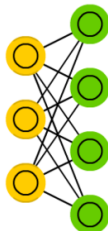
Состояние каждого нейрона выбирается с определенный
вероятностью — стохастический нейрон.

Энергия системы такая же, как и у сети Хопфилда:

$$E = -\mathbf{S} \mathbf{W} \mathbf{S},$$

где \mathbf{S} — вектор состояний нейронов.

Restricted Boltzmann Machine



Связи существуют только между скрытыми и видимыми нейронами, но при этом отсутствуют между нейронами одного класса.

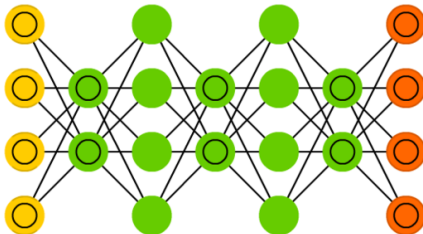
Особенность этой модели в том, что при данном состоянии нейронов одной группы, состояния нейронов другой группы будут независимы друг от друга.

Энергия системы в данном случае:

$$E = -\mathbf{S}_v \mathbf{W} \mathbf{S}_h,$$

где $\mathbf{S}_v, \mathbf{S}_h$ — значения видимых и скрытых нейронов.

Deep Belief Network

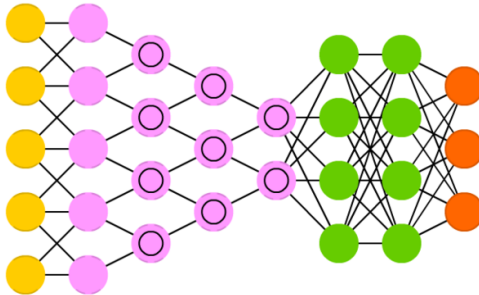


Представляют собой
композицию
нескольких
RBM или VAE.

Скрытый слой каждой подсети служит видимым слоем для следующей.

Обучается методом жадного послойного обучения.

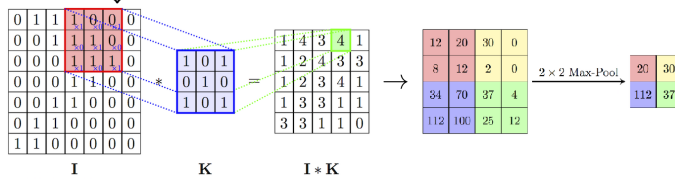
Deep Convolutional Network



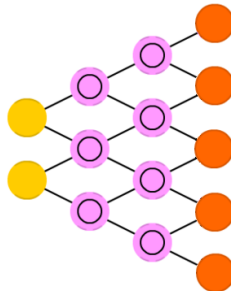
Используются в
основном
для обработки
изображений.

Модель выглядит следующим образом:

Слои Conv → Pool + FFNN (полносвязные слои) + Softmax



Deconvolutional Network

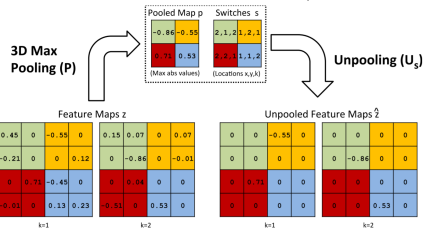
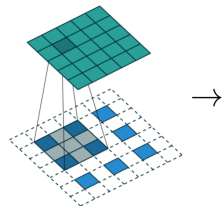


CNN наоборот.

Можно получить большой набор фильтров, которые охватывают всю структуру изображения.

Модель выглядит следующим образом:

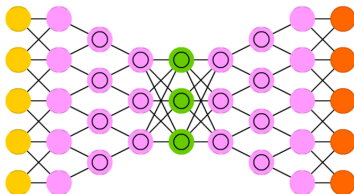
FFNN (полносвязные слои) + слои Deconv → Pool/Unpool.



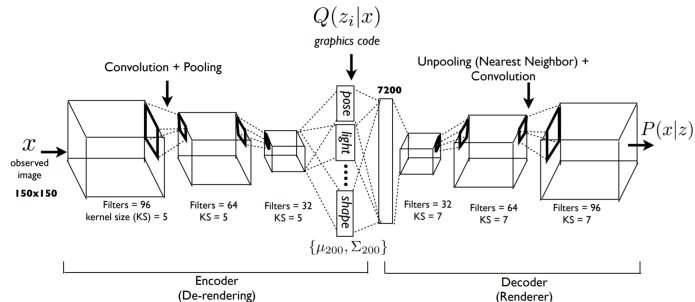
Deep Convolutional Inverse

Graphics Network

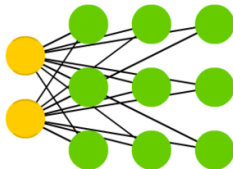
Вариационные автоэнкодеры
со сверточными и
развертывающими сетями
в качестве энкодера и
декодера.



Архитектура модели:



Kohonen Network



Обучение без учителя.

Применяются для визуализации многомерных данных.

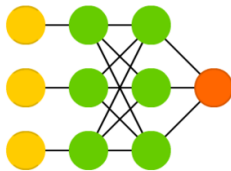
Пусть $\{(m_i, n_j)\}_{i,j=1}^{M,N}$ — узлы сетки.

Каждому узлу сетки приписывается нейрон Кохонена (w_{mn}).

Обучается сеть методом стохастического градиента
(веса инициализируются случайно, η — темп обучения):

- случайно выбирается $x_i \in X^I$;
- $(m_i, n_i) = \operatorname{argmin}_{(m,n)} \rho(x_i, w_{nm})$;
- $w_{mn} \rightarrow w_{mn} = w_{mn} + \eta (x_i - w_{mn}) K(r((m_i, n_i), (m, n)))$.

Support Vector Machine



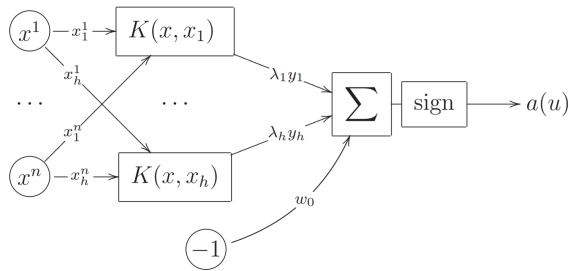
Модель:

$$a(\mathbf{x}) = \text{sign} \left(\sum_{i=1}^h \lambda_i y_i K(\mathbf{x}_i, \mathbf{x}) + w_0 \right).$$

$$K(u, v) = \tanh(k_0 + k_1 \langle u, v \rangle) \rightarrow \sigma.$$

$$K(u, v) = \exp(-\beta \|v - u\|^2) \rightarrow \text{RBF}.$$

МашинаОпорных векторов как двухслойная нейросеть:



Полезные ссылки:

- [Зоопарк архитектур нейронных сетей.](#)
- [Understanding LSTM Networks.](#)
- [Explanation of Neural Turing Machines.](#)
- [Моделирование нейросети Машина Больцмана.](#)
- [Реализация Restricted Boltzmann machine на c#.](#)
- [Автоэнкодеры.](#)

Литература:

- Hopfield J. J. Neural networks and physical systems with emergent collective computational abilities //Proceedings of the national academy of sciences. – 1982. – Т. 79. – №. 8. – С. 2554-2558.
- Sejnowski T. Learning and relearning in boltzmann machines //Graphical Models: Foundations of Neural Computation. – 2001. – С. 45.

- Poultney C. et al. Efficient learning of sparse representations with an energy-based model //Advances in neural information processing systems. – 2007. – C. 1137-1144.
- Vincent P. et al. Extracting and composing robust features with denoising autoencoders //Proceedings of the 25th international conference on Machine learning. – ACM, 2008. – C. 1096-1103.
- Bengio Y. et al. Greedy layer-wise training of deep networks //Advances in neural information processing systems. – 2007. – C. 153-160.
- Zeiler M. D. et al. Deconvolutional networks //Computer Vision and Pattern Recognition (CVPR), 2010 IEEE Conference on. – IEEE, 2010. – C. 2528-2535.

- Kulkarni T. D. et al. Deep convolutional inverse graphics network //Advances in Neural Information Processing Systems. – 2015. – C. 2539-2547.
- Graves A., Wayne G., Danihelka I. Neural turing machines //arXiv preprint arXiv:1410.5401. – 2014.
- Jaeger H., Haas H. Harnessing nonlinearity: Predicting chaotic systems and saving energy in wireless communication //science. – 2004. – T. 304. – №. 5667. – C. 78-80.
- Maass W., Natschläger T., Markram H. Real-time computing without stable states: A new framework for neural computation based on perturbations //Neural computation. – 2002. – T. 14. – №. 11. – C. 2531-2560.